

缬草提取物对慢性心力衰竭室性心律失常兔电生理指标的影响*

杨淑红^{1,2} 曹 红² 胡 河² 陈玉婷² 徐辉文³

[中图分类号] R541.7 [文献标识码] A [文章编号] 1005-1740(2016)03-0011-05

【摘要】目的:观察缬草提取物(VOL)对慢性心力衰竭(CHF)致室性心律失常兔电生理指标的影响。**方法:**雄性新西兰大耳白兔30只,随机平分为三组:正常对照组(Control组)、CHF模型组(CHF组)和CHF+VOL组(VOL组)。CHF模型组经耳缘静脉推注异丙肾上腺素(0.3mg/kg/天,连续注射3周)诱导;Control组平行推注等体积生理盐水;VOL组对CHF兔持续静脉滴注浓度为50mg/L的VOL。记录各组在体心脏左心室单相动作电位(MAP)主要参数静息膜电位(RMP)、动作电位幅度(APA)、动作电位最大上升速率($\text{Max}_{\text{dv/dt}}$)和动作电位复极化恢复时程(APD₁₀₋₉₀)。观察各组室性心律失常诱发周长(BCL)、诱发率和心律失常持续时间;分离单个心室肌细胞后,全细胞膜片钳技术记录心室肌细胞L型钙电流($I_{\text{Ca-L}}$)及电流-电压(I-V)曲线。**结果:**与Control组比较,CHF组RMP、APA、 $\text{Max}_{\text{dv/dt}}$ 均明显降低,APD₁₀、APD₂₀、APD₅₀和APD₉₀均显著延长(P 均<0.01);与CHF组比较,VOL组RMP、APA、 $\text{Max}_{\text{dv/dt}}$ 均明显增加,各APD时程均显著缩短(P <0.01)。CHF组诱发室性心律失常BCL、心律失常诱发率和持续时间均大于Control组(P <0.01);VOL组BCL、心律失常诱发率和持续时间均小于CHF组(P <0.01)。当钳制电位为+20mV时,与Control组比较,CHF组心室肌细胞 $I_{\text{Ca-L}}$ 电流密度由(-12.13±0.99pA/pF)下降为(-7.14±0.33pA/pF)(P <0.01);VOL组则较CHF组 $I_{\text{Ca-L}}$ 电流密度明显上升(-10.86±0.50pA/pF)(P <0.01),VOL组 $I_{\text{Ca-L}}$ 的I-V曲线较CHF组明显下移,接近Control组。**结论:**VOL能显著降低CHF心室肌电生理易损性和室性心律失常易感性,拮抗CHF室性心律失常;其机制可能与VOL可增加心室肌细胞 $I_{\text{Ca-L}}$ 有关。

【关键词】 缬草提取物;慢性心力衰竭;单相动作电位;L型钙电流;抗室性心律失常;兔

Effect of Valeriana Officinalis L Extract on Correlated Electrophysiological Parameters of Ventricular Arrhythmias induced by Congestive Heart Failure in Rabbit

YANG Shu-hong¹, CAO Hong², HU He², CHEN Yu-ting, XU Hui-wen

¹Clinical Dressing Room; ²Institute of Cardiovasallar Disease; ³Department of Geriatrics, Renmin Hospital of Wuhan University, Wuhan 430060, China

【Abstract】 Objective: To investigate effects of valeriana officinalis L extract (VOL) on correlated electrophysiological parameters of ventricular arrhythmias induced by congestive heart failure (CHF) in rabbits. **Method:** The male New Zealand rabbits ($n=30$) were divide into control, CHF and CHF+VOL (VOL) groups. The CHF models were induced by injection isoproterenol (0.3mg/Kg/d for 3 weeks), and control rabbits were injected 0.9% NaCl with same ways. The VOL group rabbits were injected 50mg/L VOL. The main cardioelectrophysiological parameters such as RMP, APA, $\text{Max}_{\text{dv/dt}}$ and APD₁₀₋₉₀, as well as basic cycle length (BCL), rate and time of induced arrhythmias by recording monophasic action potential (MAP) with Burst-pacing in rabbits in vivo with 50mg/L VOL administration. The L-type calcium current ($I_{\text{Ca-L}}$) was recorded via whole-cell patch clamp technique in enzymatically dissociated single rabbit ventricular myocytes. **Results:** Compared with control group, RMP, APA and

* [基金项目] 湖北省自然科学基金(2011CDB504);湖北省卫计委科研基金(JX6B67; WJ2015MB088)

[作者单位] 武汉大学人民医院,武汉 430060; ¹ 外科门诊; ² 心血管研究所; ³ 老年病科

本文 2016-05-30 收到,2016-06-21 修回

$\text{Max}_{\text{dv/dt}}$ were significantly lowered, as well as APD_{10-90} were notably lingered in CHF rabbit (P of all <0.01 , respectively). Compared with CHF group, VOL could significantly increase RMP, APA and V_{max} , as well shorten APD_{10-90} in VOL group in vivo (P of all <0.01 , respectively). Compared with control group, BCL and persistence time inducing ventricular arrhythmias were significantly lengthened, and occurrence of ventricular arrhythmias were obviously increased in CHF group (P of all <0.01 , respectively). However, VOL could obviously shorten BCL and persistence time of ventricular arrhythmias, and decrease rate of inducibility of ventricular arrhythmias with burst-pacing in VOL group in vivo (P of all <0.01 , respectively). VOL could markedly increase the current density of $I_{\text{Ca-L}}$, and alter down of current-voltage (I-V) relationship curve in different command potential in CHF ventricular myocytes. When command potential was +20mV, the current densities of $I_{\text{Ca-L}}$ were significantly increased from (7.14 ± 0.33) pA/pF in CHF group to (10.86 ± 0.50) pA/pF in VOL group ($P < 0.01$) with VOL administration.

Conclusion: VOL could significantly decrease the vulnerability and susceptibility of ventricular arrhythmias induced by CHF, which was contributed to anti-ventricular arrhythmias induced by CHF. It is suggested that the mechanisms might attribute to that VOL could markedly increase $I_{\text{Ca-L}}$ in CHF rabbits.

【Key words】 Valeriana officinalis L extract; Congestive heart failure; Monophasic action potential; L-type calcium current; Anti-ventricular arrhythmias; Rabbit

慢性心力衰竭 (Congestive Heart Failure, CHF)患者容易诱发室性心律失常,甚至出现心源性猝死等恶性事件^[1]。CHF发生机制可能与离子通道表达异常,允许离子电流进出心室肌细胞内外量的多寡密切相关^[2]。改善CHF患者的心功能,防止室性心律失常发生是药物治疗CHF的重要节点^[3]。抗心律失常药物能够有效减少CHF室性心律失常的发生。缬草 (Valeriana Officinalis L, VOL)属于败酱科缬草属多年生草本植物^[4],其有效成分缬草单萜碱可通过降低心肌细胞内 $[\text{Ca}^{2+}]_i$,发挥抗缺血再灌注损伤以及通过作用于 Na^+ 电流发挥抗心律失常等效应^[5]。但其对CHF诱发心律失常的相关作用及其电生理变化尚不明确。本文采用静脉注射异丙肾上腺素诱发家兔CHF模型,采用单相动作电位 (Monophasic Action Potential, MAP)、全细胞膜片钳等技术记录各种电生理指标,探讨VOL有效成分提取液对CHF所致室性心律失常的影响和电生理机制,为VOL的临床应用提供实验证据。

1 材料与方法

1.1 实验动物及分组

健康雄性新西兰大耳白兔30只,购于武汉生物制品研究所,体重1.5—2.0kg。饲养于本院实验动物中心(SPF级动物室),整个饲养过程充分提供动物生活所需湿度、温度和光线,自由进食和饮水,1—2周后随机数字表法分为正常对照组(Control组)、CHF模型组(CHF组)和CHF+VOL有效成分提取物组(VOL组),每组10只。

1.2 实验仪器

婴幼儿超声仪(主机 Vivid 7,探头 S4,美国 GE 公司);16 导电生理记录系统(PowerLab 16/30,澳大利亚 AD 公司);电生理记录和分析模块(Lab-Chart Pro V7,澳大利亚 AD 公司);Langendorff 离体心脏灌流装置(PowerLab7,澳大利亚 AD 公司);倒置显微镜 (IX70-122,日本 Olympus 公司);Pulse+Pulsefit 软件(version8.31, HEKA, 德国);EPC-9 放大器(HEKA, 德国);Igor Pro 分析软件(version 3.31,美国);玻璃微电极(Sutter-7,美国)。

1.3 实验药物和试剂

VOL有效成分提取液(制备成安瓿,5ml/支)由华中科技大学老年医学研究所馈赠,参照前期 VOL 对心肌缺血再灌注实验结果^[5],本次实验选择浓度为50mg/L。自配 Tyrode 液(mmol/L):NaCl 135.0、KCl 5.4、MgCl₂ 1.0、HEPES 10.0、Glucose 10.0,用 NaOH 调 pH 至 7.35; $I_{\text{Ca-L}}$ 细胞外液(mM):CsCl 5.4、MgCl₂ 1、Hepes 5、Glucose 11,用 CsOH 调 pH 至 7.4; $I_{\text{Ca-L}}$ 细胞内液(mM):NaCl 5、CsCl 10、Hepes 5、Mg-ATP 2.5,用 CsOH 调 pH 至 7.4。异丙肾上腺素、戊巴比妥钠、I型胶原酶、蛋白酶 E、小牛血清白蛋白、河豚毒素(TTX)、BaCl₂ 和维拉帕米均为美国 Sigma 公司产品。

1.4 实验方法

1.4.1 CHF 模型制备: 参照文献^[7]并作改良。CHF组和VOL组共20只兔,经耳缘静脉推注异丙肾上腺素0.3mg/kg/天,连续注射3周(推注前后注意剃毛、消毒和止血);Control组兔注射相同体积0.9% NaCl并作同样处理,继续饲养6个月后,观

察三组动物临床症状，并行超声心动图和心电图检查。超声心动图和心电图检查由同一名副高级职称专科医师完成。结果：CHF 兔出现消瘦、食欲减退、嗜睡、气促和肌肉萎缩等临床症状；超声心动图指标与 Control 组比较，左室射血分数降低 ($52.37 \pm 12.75\%$ vs $85.21 \pm 15.58\%$) ($P < 0.01$)，左室腔扩大 29.46% ，室间隔明显变薄，左室短轴缩短率降低 49.12% ；心电图出现室性早搏，与 Control 组比较心率变慢 (231.07 ± 27.32 次/min vs 268.93 ± 34.36 次/min) ($P < 0.01$)，QT 间期延长 (183.62 ± 38.42 ms vs 115.97 ± 29.89 ms) ($P < 0.01$)。与 CHF 模型兔相关报道结果^[6]一致，即 20 只家兔均造模成功，后随机编入 CHF 组和 VOL 组，各 10 只，两组在临床表现、超声心动图和心动图各参数比较均无显著差异 ($P > 0.05$)，具有可比性。

1.4.2 VOL 干预方法：VOL 组家兔在做完心室 MAP 参数后，间隔 30min（消除心脏记忆对后续实验数据的影响），开始耳缘静脉滴注 VOL 提取液 20min（滴速为 15 滴/min），之后维持该滴速记录在体各项心电生理指标，直到实验完成；对离体心室肌细胞 I_{Ca-L} 作用的 VOL 提取液干预时间是在细胞外液灌流心室肌细胞 10min 后通过灌注给予（灌流速度为 3—5 ml/min），直到实验结束。

1.5 观察指标

1.5.1 在体左心室 MAP：各组兔耳缘静脉推注戊巴比妥钠麻醉 (300 mg/kg) 后开胸，用开睑器撑开胸廓充分暴露心脏，剪开心包膜，用接触式双极铂金微电极贴于左心室前壁靠近心尖部，记录 MAP 心电信号。MAP 心电信号经放大器放大、转换和滤波后储存于计算机，供测量、分析和统计实验数据。观察参数包括静息膜电位 (RMP)、动作电位幅度 (APA)、动作电位最大上升速率 ($Max_{dv/dt}$)、动作电位复极化恢复到 10%、20%、50%、90% 时程 (APD_{10} 、 APD_{20} 、 APD_{50} 、 APD_{90})。

1.5.2 室性心律失常：MAP 心电信号采集完成后 30min（消除心脏记忆对后续实验数据的影响），采用短阵快速刺激法^[7] (Burst-pacing，波宽 2ms，刺激时间 10s) 观察各组诱发性室性心律失常（包括室性早搏、室性心动过速或心室颤动）的诱发率和心律失常持续时间，以及诱发各种心律失常的刺激周长 (BCL)。

1.5.3 心室肌细胞 I_{Ca-L} 及其电流-电压 (I-V) 曲线：(1) 分离心室肌细胞：上述实验结束后，各组家兔经耳缘静脉推注肝素钠 (500IU/kg) 抗凝，10min 后摘

取心脏置于冰冻生理盐水中，插入主动脉套管，连接离体心脏循环灌流装置，先用无 Ca^{2+} Tyrode 液逆行灌流，再用含 I 型胶原酶、蛋白酶 E 和小牛血清白蛋白的无 Ca^{2+} Tyrode 液循环灌流，最后用无 Ca^{2+} Tyrode 液灌流。取下心脏去除心房肌、乳头肌和浦肯野纤维等组织，留取心室肌制备单个心室肌细胞悬液，离心去上清，用含 BSA 和氨基青霉素 Tyrode 调细胞浓度至 5×10^5 /ml，供膜片钳实验用。(2) 分别将各组心室肌细胞悬液加到显微镜载物台上的细胞记录槽中，待细胞沉底贴壁，用细胞外液循环灌流 10min。给予指令程序和记录信号于膜片钳软件，并通过电极内液和玻璃微电极与细胞高阻抗封接，形成全细胞膜片钳记录模式。将钳制电位设置为 -40 mV，指令电位由 -40 mV 去极化到 $+60$ mV，跃阶 10mV，持续时间 200ms，记录一缓慢内向电流，然后灌流钙通道阻滞剂维拉帕米 ($20 \mu\text{mol/L}$) 10min，该缓慢内向电流减小，即为 I_{Ca-L} 。为消除 Na^+ 和 K^+ 电流的干扰，循环灌流细胞外液中加入 TTX ($50 \mu\text{mol/L}$) 阻断 I_{Na} ，加入 $BaCl_2$ ($100 \mu\text{mol/L}$) 阻断 I_{K1} ，记录钳制电位为 $+20$ mV 时的 I_{Ca-L} 电流密度。对各组数据与描记图形进行拟合，以钳制电位为横坐标，对应电流密度为纵坐标，绘制 I_{Ca-L} 的 I-V 曲线。为消除细胞大小对统计结果造成误差， I_{Ca-L} 用电流密度 (pA/pF) 表示。

1.6 统计学处理

采用 Origin 6.0 统计学软件。计量数据符合正态分布和方差齐性，以均数±标准差 ($\bar{x} \pm s$) 表示，多组数据比较用单因素方差分析 (One-way ANOVA)，两两比较采用 t 检验；计数资料以率/百分比表示，率的比较采用 χ^2 检验，例数为 0 的计数资料用 Fisher 确切概率法检验。 $P < 0.05$ 为差异有统计学意义。

2 结 果

2.1 各组心室肌 MAP 主要参数比较

RMP、APA、 $Max_{dv/dt}$ 和各 APD 时程在 Control 组、CHF 组和 VOL 组间差异均具有统计学意义 ($P < 0.01$)。与 Control 组比较，CHF 组 RMP、APA 和 $Max_{dv/dt}$ 明显减少 (t 均 ≥ 10.65 ，均 $P < 0.01$)，各 APD 时程显著延长 (t 均 ≥ 7.31 ，均 $P < 0.01$)；与 CHF 组比较，VOL 组 RMP、APA 和 $Max_{dv/dt}$ 明显增加 (t 均 ≥ 7.92 ， $P < 0.01$)，各 APD 时程均缩短 (t 均 ≥ 17.92 ， $P < 0.01$)。见表 1。

表 1 各组心室肌 MAP 主要参数比较(n 均=10, $\bar{x} \pm s$)

组别	RMP (mV)	APA (mV)	$Max_{dv/dt}$ (mV/s)	APD ₁₀ (ms)	APD ₂₀ (ms)	APD ₅₀ (ms)	APD ₉₀ (ms)
Control 组	-23.92±3.84	46.98±6.12	5 571.09±491.64	47.55±10.17	60.14±10.22	123.12±20.70	168.98±28.90
CHF 组	-14.33±6.07 ¹⁾	33.08±7.23 ¹⁾	3 334.90±505.53 ¹⁾	61.81±12.79 ¹⁾	99.71±18.89 ¹⁾	166.25±19.98 ¹⁾	215.05±30.56 ¹⁾
VOL 组	-19.29±7.51 ²⁾	44.94±10.27 ²⁾	4 817.34±358.83 ²⁾	44.56±14.73 ²⁾	56.78±14.67 ²⁾	110.64±15.91 ²⁾	155.42±28.37 ²⁾
F 值	112.09	70.65	101.69	79.82	58.71	84.64	172.09

注:与 Control 组比较,¹⁾ $P < 0.01$;与 CHF 组比较,²⁾ $P < 0.01$

2.2 各组诱发性室性心律失常指标比较

心律失常诱发率、持续时间分布、BCL 和 I_{Ca-L} 在 Control 组、CHF 组和 VOL 组间差异均有统计学意义($P < 0.01$)。与 Control 组比较,CHF 组心律失常诱发率增加、心律失常持续时间延长(χ^2 均 ≥ 6 ,

98, 均 $P < 0.01$), BCL 也明显延长($t = 10.82, P < 0.01$);与 CHF 组比较,VOL 组心律失常诱发率降低,持续时间缩短(χ^2 均 ≥ 10.96 , 均 $P < 0.01$)。BCL 缩短($t = 5.851, P < 0.01$)。见表 2。

表 2 各组家兔诱发性室性心律失常相关指标比较(n 均=10)

组别	心律失常诱发率 (n, %)	心律失常持续时间(n, %)				BCL (ms, $\bar{x} \pm s$)	I_{Ca-L} 电流密度 (pA/pF, $\bar{x} \pm s$)
		0s	<10s	10~30s	>30s		
Control 组	1(10.00)	9(90.00)	1(10.00)	0(0.00)	0(0.00)	67.93±20.25	-12.13±0.99
CHF 组	7(70.00) ¹⁾	3(30.00) ¹⁾	4(40.00) ¹⁾	2(20.00) ¹⁾	1(10.00) ¹⁾	161.81±22.57 ¹⁾	-7.14±0.33 ¹⁾
VOL 组	2(20.00) ²⁾	7(70.00) ²⁾	2(20.00) ²⁾	1(10.00) ²⁾	0(0.00) ²⁾	90.19±23.73 ²⁾	-10.86±0.50 ²⁾
χ^2/F 值	8.59	6.98	7.32	9.58	5.03	10.82	9.21

注:与 Control 组比较,¹⁾ $P < 0.01$;与 CHF 组比较,²⁾ $P < 0.01$

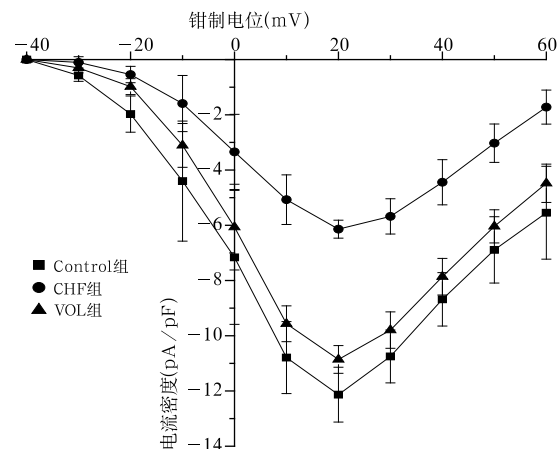
2.3 各组心室肌细胞 I_{Ca-L} 及 I-V 曲线

各组心室肌 I_{Ca-L} 电流密度差异有统计学意义($P < 0.01$)。与 Control 组比较,CHF 组 I_{Ca-L} 电流密度显著减小($t = 8.64, P < 0.01$),而 VOL 组较 CHF 组明显增加($t = 7.68, P < 0.01$),见表 2。各组于钳制电位 +20mV 时, I_{Ca-L} 电流密度最大,-40 mV 和 +60mV 时最低,呈明显抛物线状。各组 I-V 抛物线以 Control 组较高,CHF 组明显上抬,VOL 组较 CHF 组显著下移,接近 Control 组。见图 1。

3 讨论

CHF 常引起心脏电重构,电活动紊乱,诱发严重室性心律失常^[7]。本实验建立的家兔 CHF 模型显示,CHF 发生后,其动作电位幅度降低,自动除极变缓,舒张速率低平、延长,复极化过程中各时间段均显著延长;这些改变有利于 CHF 兔室性心律失常的发生。本文结果证实,CHF 兔心脏在程控和短阵快速刺激下,诱发室性心律失常的 BCL 和持续时间均显著延长,心室电明显重构,诱发了室性心律失常。

CHF 诱发室性心律失常易导致猝死风险,针对

图 1 各组心室肌细胞 I_{Ca-L} 的 I-V 曲线

性药物治疗非常关键^[8]。VOL 具有增加心脏冠脉血流量、抗心肌缺血再灌注损伤和抗心律失常等作用。本研究表明,VOL 可使 CHF 兔心脏 APA 增加, $Max_{dv/dt}$ 增快, APD 显著缩短, 心室动作电位传导速度和心率增加,从而增加 CHF 心输出量和动能。而且 VOL 还能稳定心脏电活动, 阻滞异位起搏点发放冲动, 防止折返性室性心律失常的形成^[9]。VOL 能显著缩短诱发 CHF 室性心律失常 BCL, 明

显著降低心律失常发生率,即使发生室性心律失常,但持续时间也会变短,且易终止,或转为窦性心率。进一步说明 VOL 可明显降低 CHF 室性心律失常的敏感性阈值,增强抗额外快速刺激的耐受性,显示抗 CHF 室性心律失常作用,与有关研究报道结果^[10]相一致。心肌细胞动作电位平台期的形成主要由 I_{Ca-L} 决定,它的开启和关闭控制着动作电位传导快慢和细胞中生理性 $[Ca^{2+}]_i$ 变化^[11]。 Ca^{2+} 是心肌收缩原动力,其通过 I_{Ca-L} 进出细胞,产生动作电位传递的驱动力量^[12]。当 CHF 心室肌细胞 I_{Ca-L} 下降,CHF 心脏做功能力下降,电活动减弱,动作电位传导减慢;反之, I_{Ca-L} 增加时,CHF 心脏的上述功能将会改善或加强。本研究中,CHF 心室肌细胞 I_{Ca-L} 显著减少,I-V 曲线严重上抬,成为 CHF 心脏易发折返性室性心律失常的电生理表现。而 VOL 可以显

著增加 CHF 心室肌细胞的 I_{Ca-L} ,明显下移 I-V 曲线,使心室肌细胞外 Ca^{2+} 很快通过 I_{Ca-L} 进入心室肌细胞内,增加 CHF 心室肌细胞收缩动力和动作电位传导速度,避免 CHF 心脏诱发折返性室性心律失常^[13]。

总之,本次动物实验表明 VOL 可明显改善 CHF 兔电生理指标,如缩短 APD、BCL、降低心率失常发生率等,其机制可能与 VOL 增加 CHF 兔心肌细胞的 I_{Ca-L} 有关。该结果为临床选择应用 VOL 治疗终末期 CHF 提供了实验依据。◆

本文第一作者简介:

杨淑红(1974—),女,汉族,硕士,主管护师,主要从事心脏疾病的基础研究

参 考 文 献

- 1 Wilson LD, Jeyaraj D, Wan X, et al. Heart failure enhances susceptibility to arrhythmogenic cardiac alternans [J]. Heart Rhythm, 2009, 6(2):251—259.
- 2 Chua SK, Chang PC, Maruyama M, et al. Small-conductance calcium-activated potassium channel and recurrent ventricular fibrillation in failing rabbit ventricles[J]. Circ Res, 2011, 108(8):971—979.
- 3 吴明.心律失常药物治疗进展与评价[J].海南医学,2007,18(3):1—3.
- 4 张丹,周立新,林能明.缬草的药理作用研究进展[J].中国临床药学杂志,2014,23(6):397—402.
- 5 杨淑红,陈芳,马红梅,等.缬草提取物预处理对大鼠心肌细胞缺血再灌注损伤的保护作用[J].武汉大学学报医学版,2012,33(5):639—643.
- 6 王腾,吴平亚,李文星,等.2-甲硫基三磷酸腺苷对心力衰竭兔心室电生理的影响[J].中国心脏起搏与心电生理杂志,2015,29(5):479—483.
- 7 Houser SR, Margulies KB, Murphy AM, et al. Animal models of heart failure: a scientific statement from the American Heart Association[J]. Circ Res, 2012, 111(1):131—150.
- 8 杨溢,刘伟,陆秀红,等.2-甲硫基三磷酸腺苷可抑制兔慢性心力衰竭引起的室性心律失常[J].中华心血管病杂志,2015,43(3):212—218.
- 9 Zhou SY, Mamdani M, Qanud K, et al. Treatment of heart failure by a methanocarba derivative of adenosine monophosphate: implication for a role of cardiac purinergic P2X receptors[J]. J Pharmacol Exp Ther, 2010, 333(3):920—928.
- 10 吴迪,张楠淇,李平亚.缬草化学成分及生物活性研究进展[J].中国中医药信息杂志,2014,21(9):129—133.
- 11 Josephson IR, Guia A, Sobie EA, et al. Physiologic gating properties of unitary cardiac L-type Ca^{2+} channels[J]. Biochem Biophys Res Commun, 2010, 396(3):763—766.
- 12 Goldhaber JI, Xie LH, Duong T, et al. Action potential duration restitution and alternans in rabbit ventricular myocytes: the key role of intracellular calcium cycling[J]. Circ Res, 2005, 96(4):459—466.
- 13 Viola HM, Macdonald WA, Tang H, et al. The L-type Ca^{2+} channel as a therapeutic target in heart disease[J]. Curr Med Chem, 2009, 16(26):3341—3358.